

## تحلیل پایداری زمین لغزش فرhzad

\*سید محمود فاطمی عقدا: دانشگاه تربیت معلم تهران

مازیار حسینی، سعید منتظر القائم:

سازمان پیشگیری و مدیریت بحران شهر تهران

خدیجه شریفی: دانشگاه تربیت معلم تهران

### چکیده

اجرای طرح های اصلاح شبیب مناسب و روش های پایدارسازی اقتصادی مستلزم بررسی های صحرایی دقیقی است که به درک روشنی از علل و قوع زمین لغزش منجر می گردد. همچنین شناسایی زمین لغزش به محض وقوع آن، اطلاعات با ارزشی از فرایندهای درگیر در لغزش در اختیار محققان قرار می دهد. در تحلیل پایداری شبیب های خاکی، اندازه گیری یا تخمين مقاومت بر شی مصالح شیروانی اهمیت بسیاری دارد. شبیب های گسیخته شده، شرایط مناسبی برای تخمين مقاومت بر شی مصالح درگیر در گسیختگی فراهم می کنند که در این حالت تحلیل های برگشتی برای تخمين مقاومت بر شی مصالح سطح لغزش جوابگو است. زمانی که مقیاس لغزش بسیار بزرگ است و مصالح در حالت طبیعی خود قرار دارند روش تحلیل برگشتی نسبت به آزمون های آزمایشگاهی برتری دارد. با استفاده از اطلاعات حاصل از بررسی های محلی و روش های تحلیل پایداری مناسب می توان به مدل شیروانی در زمان گسیختگی دست یافت. در این مقاله ضمن بررسی زمین لغزش فرhzad و بازسازی لغزش اولیه، پارامتر های مقاومتی سطح گسیختگی از طریق انجام تحلیل برگشتی به دست آمده است. مقدار مقاومت بر شی توف هوازده که از طریق تحلیل برگشتی حاصل شده است با مقادیر مقاومت بر شی توف هوازده ارائه شده در منابع همخوانی دارد.

### مقدمه

یکی از مهم ترین مسائل در پژوهه های عمرانی همچون پژوهه های رامسازی، توسعه بزرگراه ها، مکان یابی سدها و احداث تونل ها، بررسی پایداری شبیب های طبیعی و مصنوعی است. با وجود پیشرفت های بسیار در تشخیص، پیش بینی، اجرای روش های اصلاحی و سیستم های اخطار دهنده، فعالیت زمین لغزش در سراسر جهان افزایش یافته است. انتظار می رود این روند در قرن بیست و یکم نیز ادامه یابد. فاکتور های مسبب این انتظار عبارتند از:

- شهرسازی بی رویه در مناطق مستعد لغزش

واژه های کلیدی: زمین لغزش فرhzad، تحلیل پایداری، تحلیل برگشتی، مقاومت بر شی پسماند، توف هوازده

پذیرش ۹۰/۱۱/۱۲

دریافت ۸۹/۳/۲

\*نویسنده مسئول

- جنگلزدایی مداوم در مناطق مستعد لغزش

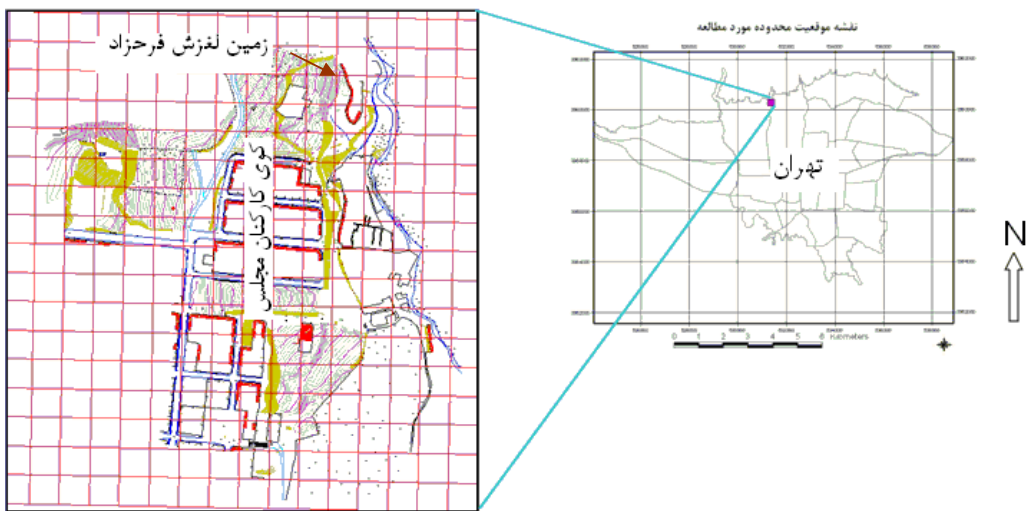
- افزایش بارندگی ناحیه‌ای ناشی از تغییر الگوهای اقلیمی (ترنر<sup>۱</sup> ۱۹۹۶).

ابرامسون<sup>۲</sup> (۱۹۹۶)، ترنر<sup>۳</sup> (۱۹۹۶)، دانکن<sup>۴</sup> (۲۰۰۵)، اسکمپتون<sup>۵</sup> (۱۹۸۵)، کرامر<sup>۶</sup> (۱۹۹۶) هر یک از جنبه‌ای به مسئله تحلیل پایداری و پایدارسازی شیروانی‌ها پرداخته‌اند. کمکپناه و منتظر القائم (۱۳۷۳) با ارائه مطالب کلی در باره پایداری شبیه‌های طبیعی و معرفی روش‌های مختلف تعادل حدی به بررسی تأثیر فشار آب منفذی در پایداری شبیه‌ها پرداخته‌اند.

هدف اصلی این تحقیق، بررسی و مطالعه ناپایداری‌ها و آسیب‌های گزارش شده در منطقه فرخزاد و تعیین عامل یا عوامل مسبب این ناپایداری‌هاست. به منظور کسب اطلاعات لازم برای انجام تحلیل‌ها، نقشه‌برداری منطقه بررسی شده با مقیاس ۱:۵۰۰، پژوهش‌های ژئوفیزیکی (برای تعیین عمق سطح لغزش، ضخامت لایه خاک دستی در منطقه و وضعیت آب زیرزمینی)، حفر ۲۶ گمانه دستی با عمق‌های مختلف، نمونه گیری و آزمون‌های آزمایشگاهی مکانیک خاک صورت گرفته است.

### منطقه پژوهش

منطقه فرخزاد در شمال پونک واقع شده که موقعیت این منطقه در شکل زیر نمایش داده شده است. یکی از راههای دسترسی به این محدوده از طریق بزرگراه شهید آیت‌الله اشرفی اصفهانی است.



شکل ۱. موقعیت محدوده پژوهش

در اردیبهشت سال ۱۳۸۳ زمین‌لغزشی در غرب روختانه فرخزاد و شمال کوی کارکنان مجلس که در شمال پونک واقع شده است به وقوع پیوست. بنا به گفته ساکنان منطقه جابه‌جایی از یک سال پیش در جریان بوده است و بیشترین میزان جابه‌جایی پس از بارندگی‌های رخداده در منطقه است. در این زمان مشکلات متعددی همچون

<sup>۱</sup>. Turner

<sup>۲</sup>. Abramson

<sup>۳</sup>. Duncan

<sup>۴</sup>. Skempton

<sup>۵</sup>. Krame

کج شدگی تعدادی از ساختمانهای کوی کارکنان مجلس به سمت دره فرخزاد، شکل‌گیری شکاف‌های طولی متعدد با امتداد تقریبی شمال-جنوب با بازشدگی چندین سانتی‌متر بر روی زمین و آسیب‌دیدگی شدید ساختمانهای زاغه‌نشین در شمال کوی کارکنان مجلس در منطقه مشاهده شده است.

به منظور تشخیص انواع ناپایداری‌های منطقه، بازدیدهای زمین‌شناسی، فتوژئولوژی عکس‌های هوایی سال‌های ۱۳۳۵، ۱۳۴۳، ۱۳۷۴، ۱۳۸۱ و بررسی و مقایسه نقشه‌های توپوگرافی سال‌های ۱۳۴۳، ۱۳۷۴ و ۱۳۸۳ با نرم‌افزار Arcview GIS 3.3 (Arcview GIS 3.3) انجام گرفت.

### ویژگی‌های عمومی و زمین‌شناختی منطقه فرخزاد

کهن‌ترین لایه‌های رخنمون شده در این منطقه مربوط به رسوبات و سنگ‌های آتش‌شانی به شکل گدازه، توف‌های مختلف و گهگاه‌های بازیک و اسیدی مربوط به زمان ائوسن است. این مجموعه سنگ‌ها به‌وسیله گسله رورانده شمال تهران به بالا رانده شده و تماس آن‌ها با آبرفت‌های جوان نظیر سری A و B و رسوبات دانه‌ریز یخچالی دوران چهارم در طول خط گسلش مشهود است. در جنوب این زون تکتونیکی قطعات بزرگ و کوچک از واحدهای سازندی مخصوصاً توف‌های سیز بالایی به‌حالت سفره جدا شده و به‌طور نامنظم با به هم‌ریختگی غیرعادی به‌طرف پایین (جنوب) فرو افتاده و بخشی از دامنه کوهپایه را ساخته است. بعضی از این قطعات به‌حالت سرگردان در میان آبرفت‌ها و واریزهای مدفون گردیده که گهگاه در ترانشه‌ها و خاکبرداری‌ها دیده می‌شود.

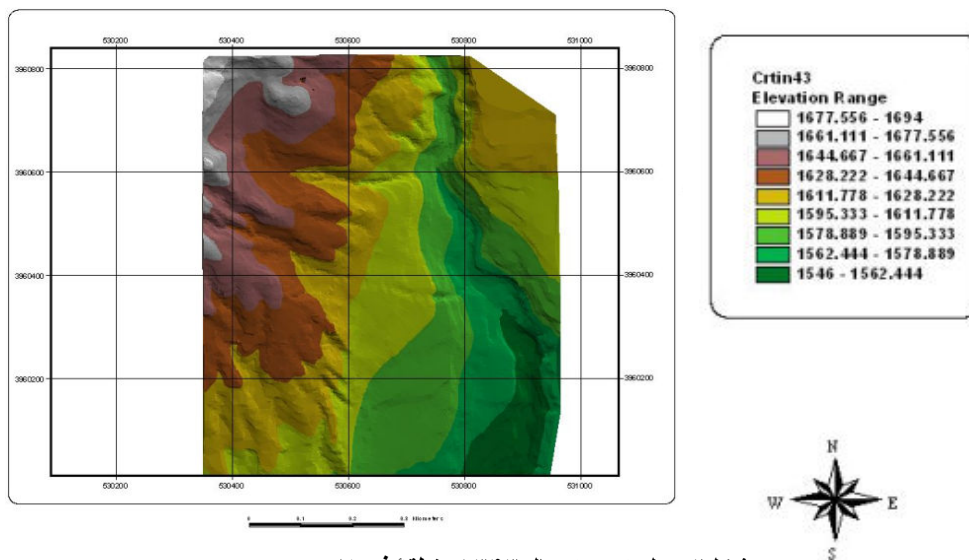
در بخش جنوبی خط گسلش که کوهپایه و محدوده دشت دره فرخزاد را تا باع فیض و پونک تشکیل می‌دهد، پهنه‌های مختلف از رسوبات چین‌خوردۀ سری A سازند هزاردره به شکل دریچه‌هایی در زیر لایه‌های رسی و تخریبی درشت‌دانه ناهمگون سری B رخنمون داشته و بالاخره پهنه چشمگیری از آبرفت‌های از عهد حاضر گستره تهران به‌طرف جنوب دیده می‌شود.

در اولین عکس هوایی این منطقه که مربوط به سال ۱۳۳۵ است، دره‌ها و آبراهه‌های بزرگ و کوچک قابل مشاهده است و همچنین شبکه آبراهه‌های موازی روی رسوبات جوان گویای ویژگی‌های طبیعی بخش غربی دره است. در این عکس افتگاه<sup>۱</sup> لغزشی به‌صورت مشخص دیده می‌شود.

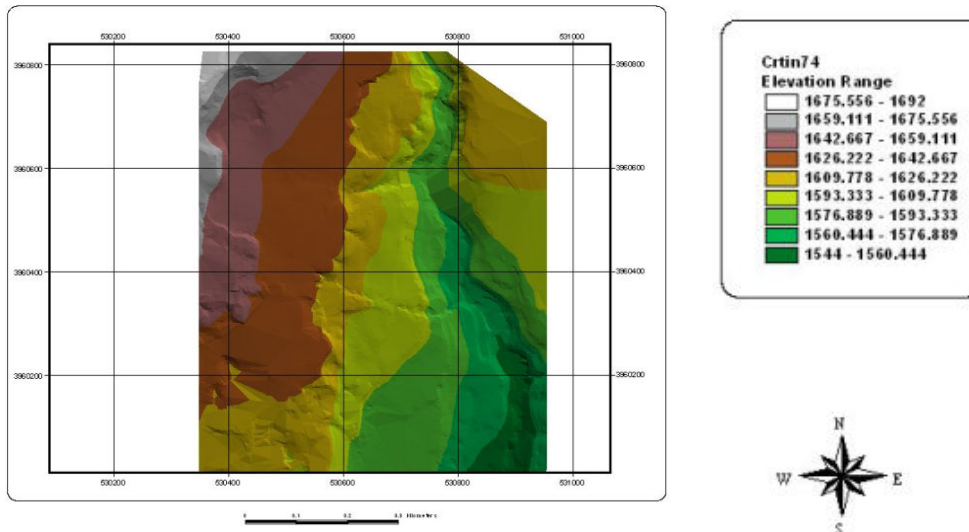
در نقشه توپوگرافی سال ۱۳۷۴ دره‌های قدیمی که در نقشه توپوگرافی سال ۱۳۴۳ وجود دارند، دیده نمی‌شود و آثار آن‌ها را می‌توان در داخل دره فرخزاد و بخش‌های عمیق دره ردیابی کرد. آنچه مشخص است، طی این سال‌ها نواحی تپه‌ماهوری در ناحیه بین کوهستان و دره فرخزاد خاکبرداری شده و در نواحی پست و دره‌ها انباسته شده است که زمین‌های مسطحی را برای ساخت و ساز آماده کرده‌اند. موارد ذکر شده در مدل<sup>۲</sup> (TIN) منطقه به‌خوبی قابل مشاهده است.

۱. Scarp

۲. Triangulated Irregular Network



شکل ۲. مدل (TIN) سال ۱۳۴۳ منطقه فرhzad



شکل ۳. مدل (TIN) سال ۱۳۷۴ منطقه فرhzad

بر اساس بررسی‌های ژئوتکنیکی و با توجه به برداشت‌های ژئوفیزیکی صورت گرفته، سطح آب زیرزمینی

حدوده متغیر و بدین شرح است:

- جریان در بستر آبراهه‌های قدیمی مدفون به صورت فصلی
- تغییر الگوی آب زیرزمینی در مناطق مسکونی با تأثیر از ورود فاضلاب منازل و جریان آن در مرز خاک دستی و خاک طبیعی
- جریان آب در سطح لغزش (با توجه به بررسی‌های ژئوفیزیک صورت گرفته)

## روش تحلیل

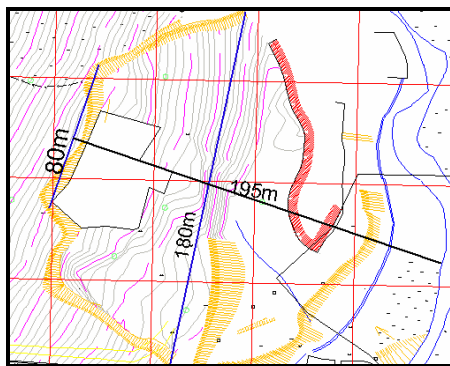
در این تحقیق، تحلیل پایداری لغزش به روش تعادل حدی و با استفاده از نرم افزار (SLOPE/W) انجام شده است. سطح لغزش بر اساس پروفیل‌های ژئوفیزیک و مشاهدات صحرایی در مقاطع ترسیم شده و همچنین مقدار دانسیتۀ مصالح با استفاده از نتایج آزمایش‌های مکانیک خاک معین می‌گردد. تحلیل‌های متعددی بر روی پروفیل‌های با امتداد تقریبی شرقی- غربی بر روی توده لغزشی انجام شد. در نتیجه این تحلیل‌ها پروفیلی که در امتداد آبراهه مدفون شده قرار دارد، به عنوان پروفیل بحرانی انتخاب شده و در این امتداد بازسازی لغزش و تحلیل برگشتی انجام شده است.

## بررسی‌های اولیۀ لغزش فرhzad

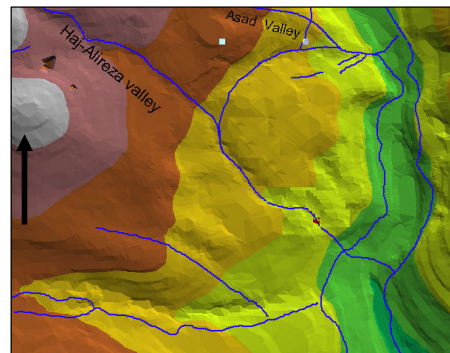
فتوژئولوژی عکس هوایی سال ۱۳۳۵، لغزش مشخصی را در سمت غربی درۀ فرhzad نشان می‌دهد، در این عکس انحراف رودخانه فرhzad در اثر ریزش مصالح توده لغزشی به داخل رودخانه دیده می‌شود. مقایسه این عکس و عکس هوایی سال ۱۳۸۱ گسترش این لغزش به سمت بالادست را نشان می‌دهد.

در مدل TIN<sup>۱</sup> منطقه فرhzad که از روی نقشه توپوگرافی سال ۱۳۴۳ تهیه شده است، این توده لغزشی به صورت افزایی کمانی شکل خود را نشان داده است. چنان‌که مشاهده می‌شود، در بالادست و در دیوارۀ شمالی این توده دره‌های قدیمی منطقه قرار دارد که آب‌های ارتفاعات شمال‌غربی منطقه را به سمت درۀ فرhzad هدایت می‌کنند. با شکل‌گیری این لغزش، آبراهه‌ها در امتداد افتگاه لغزشی ادامه مسیر داده‌اند، ولی همچنان آب‌های ارتفاعات بر اساس طبیعت خود در این آبراهه‌ها به سمت رودخانه فرhzad حرکت می‌کنند.

بعد این لغزش در شکل ۵ بر روی نقشه توپوگرافی ۱:۵۰۰ سال ۱۳۸۳ منطقه نشان داده شده است. همچنین از طریق بررسی‌های ژئوکتریکی عمق سطح لغزش در قسمت‌های میانی این گستره حدود ۲۰ متر از سطح فعلی زمین تعیین شده است.



شکل ۵. ابعاد توده لغزشی شمالی



شکل ۴. مدل TIN سال ۱۳۸۳ محدوده توده لغزشی

<sup>۱</sup>. Triangulated Irregular Network

در حال حاضر نیز در اثر تغییرات ایجاد شده، این دره‌ها و آبراهه‌های منطقه در زیر خاک دستی مدفون گشته‌اند. چنان‌که از شکل‌های ۳ و ۴ نیز بر می‌آید، لغزش فعلی نسبت به سال ۱۳۳۵ به‌همراه جنوب پیشرفت کرده است. بررسی‌های صحرایی توده لغزشی نشان می‌دهد این لغزش در توف هوایی اتفاق افتاده و در هیچ یک از رخنمون‌های متعدد افتگاه لغزشی دیده نشده است که لغزش به درون توف سالم وارد شده باشد.

بررسی‌های دقیق این لغزش نشان می‌دهد این لغزش از نوع لغزش دورانی است و با توجه به این‌که در بررسی‌های صحرایی و پیمایش توده لغزشی، علاوه بر افتگاه اصلی<sup>۱</sup>، به‌همراه دره دو افتگاه دیگر نیز دیده می‌شود، این احتمال در ذهن شکل می‌گیرد که ممکن است چند لغزش فعال باشند و لیکن بررسی عکس هوایی سال ۱۳۳۵ و مقایسه مدل‌های مختلف لغزش این احتمال را که مکانیسم این لغزش به صورت یکپارچه باشد، تقویت می‌کند.

این لغزش طی ماههای اخیر فعالیت خود را بین شکل نشان داده است:

- در اثر دپو کردن نخاله‌های ساختمان تخریب شده پلاک ۱۸ بر روی این توده لغزشی، ترک‌های جدیدی بر روی زمین به وجود آمده که آوار دپو شده را نیز بریده است.

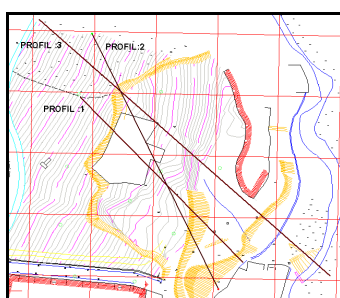
باز شدگی شکاف پای افتگاه لغزشی با عمق زیاد در تمام بازدیدها به وضوح خود را نشان داده است.

- در ساختمان‌های زاغه‌نشین دائمًا ترک‌های جدیدی در کف، دیوارهای سقف تشکیل می‌شود.

علت موارد ذکر شده را می‌توان به تجدید فعالیت لغزشی گاه به گاه توده نسبت داد. البته با توجه به ضخامت زیاد خاک دستی، نشست تدریجی خاک دستی نیز در ایجاد ترک‌ها و شکاف‌ها بی‌تأثیر نیست. تخلیه فاضلاب ساختمان‌های واقع بر توده لغزشی و نفوذ آب‌های سطحی ناشی از بارندگی که زهکش سطحی برای هدایت آن‌ها وجود ندارد نیز موجب تشدید این موضوع گردیده است.

### تحلیل برگشتی زمین لغزش فرخزاد

برای انجام تحلیل برگشتی، بر روی نقشه توپوگرافی سال ۱۳۸۳ پروفیل‌هایی در سه امتداد احتمالی جهت حرکت توده لغزشی تهیه شد (شکل ۶).



شکل ۶. موقعیت مقاطع توپوگرافی بر روی توده لغزشی

<sup>۱</sup>. main scarp

برای مشخص کردن لایه خاک دستی، در همین امتدادها مقاطعی روی نقشه تغییرات ضخامت خاک سال‌های ۱۳۴۳-۱۳۸۲ اتهیه شد. با ترکیب این دو مقطع، مقطع مناسب برای انجام تحلیل ایجاد می‌شود.

ساده‌ترین حالت در تحلیل برگشتی مربوط به‌حالتی است که لغزش اتفاق افتاده باشد. در صورت وقوع لغزش، از پارامترهای مقاومتی پسماند صالح استفاده شده و همچنین به‌علت گسیخته شدن شیروانی، چسبندگی سطح لغزش صفر در نظر گرفته می‌شود. از آنجا که سطح آب زیرزمینی در زمان وقوع لغزش نامشخص است، چند حالت برای آن در نظر گرفته شده است. لذا در این تحلیل‌ها، ویژگی‌های توده لغزشی بدین شرح است:

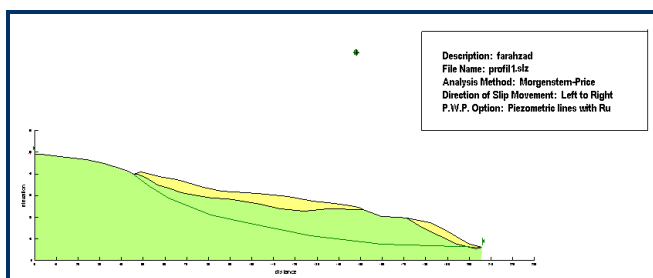
$$C = 0$$

$$\varphi_{\text{residual}} = \text{متغیر}$$

$$\text{متغیر} = \text{سطح آب زیرزمینی}$$

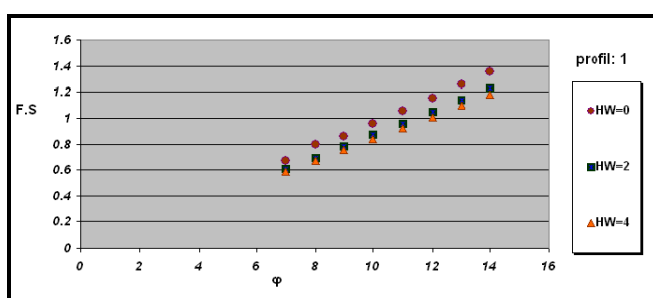
### تحلیل‌های انجام شده

شکل زیر توپوگرافی شیب را در راستای پروفیل شماره ۱ نشان می‌دهد که این مقطع برای انجام تحلیل یابدای شیب وارد نرم افزار (SLOPE/W) می‌گردد. سطح لغزش بر اساس پروفیل‌های ژئوفیزیکی و مشاهدات محلی ترسیم شده است.



شکل ۷. پروفیل تهیه شده در نرم افزار (Slope/w) در امتداد پروفیل شماره ۱

برای بهدست آوردن پارامترهای سطح لغزش به ازای سطوح آب و مقادیر  $\Phi$  متقاوت ضریب اطمینان در هر مقطع محاسبه شده است و نتیجه حاصل از این تحلیل‌ها در نمودار ۱ ارائه شده است.



نمودار ۱. تغییرات  $\varphi$  بر حسب F.S. به ازای تغییرات آب زیرزمینی

این محاسبات برای دو مقطع دیگر نیز تکرار شده و بر اساس نمودارهای بدست آمده از این تحلیل‌ها، مقادیر

$\varphi$  بحرانی ( $\varphi_{cr}$ ) به ازای  $F.S=1$  بدین صورت خلاصه شده است:

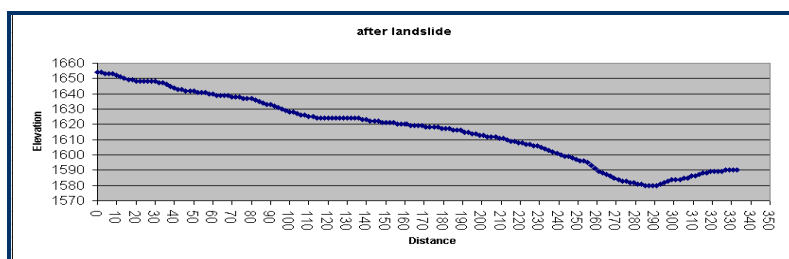
	$\varphi_{cr}$	H <sub>W</sub> (m)
Profile:1	10.4	0
	11.4	2
	11.9	4
Profile:2	8.2	0
	8.8	2
	9.2	4
Profile:3	11.9	0
	13	2
	14	4

### نتایج مقایسه‌ای مقاطع

از جدول فوق چنین استنبط می‌شود که مقطع سوم، مقطع بحرانی است. این مقطع به موازات آبراهه قدیمی و در جهت حرکت توده رسم شده است. در این مقطع مصالح توده لغزشی با مقادیر  $\varphi_{cr}$  بالاتری نسبت به مقطع شماره ۲ پایدار می‌ماند.

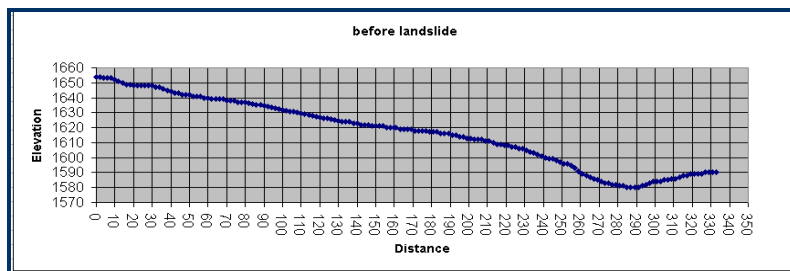
### بازسازی لغزش اولیه

برای بازسازی شرایط لغزش اولیه و تعیین عامل یا عوامل بوجود آورنده آن، این لغزش با استفاده از نرم‌افزار (Slope/W) مدل شده است. برای ایجاد این مدل پروفیل جدید در امتداد پروفیل بحرانی و بر روی نقشه توپوگرافی سال ۱۳۴۳ رسم شده است.



شکل ۸. پروفیل توپوگرافی در سال ۱۳۴۳ در امتداد پروفیل شماره ۳

مهمترین مسئله در بازسازی لغزش اولیه، ترسیم توپوگرافی اولیه است که با تصحیح توپوگرافی لغزشی بدست می‌آید. تصحیح توپوگرافی موجود نیازمند آگاهی از نوع لغزش است. با توجه به نحوه تجمع واریزه‌ها و شکل توپوگرافی بعد از لغزش، توپوگرافی قبل از لغزش بدین صورت در نظر گرفته شده است:



شکل ۹. پروفیل تصحیح شده توپوگرافی در امتداد پروفیل شماره ۳

برای بازسازی لغزش اولیه، پارامترهای مقاومتی اوج مصالح درگیر در سطح لغزش اعمال می‌گردد که از آزمایش برش مستقیم به دست می‌آید. به دلیل وجود درزهای بسیار ریز، تهیه نمونه دستخورده که بیان گر ویژگی‌های توف هوازده باشد و نیز بازسازی<sup>۱</sup> نمونه به صورت طبیعی آن امکان‌پذیر نیست از این نمودار و جدول برای تخمین مقاومت برشی توف هوازده استفاده شده است:

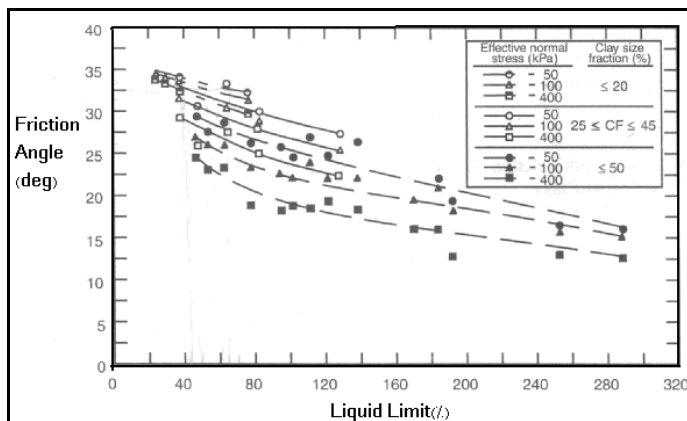


تصویر ۱. نمونه اخذ شده برای انجام آزمایش برش مستقیم

با استفاده از نموداری که استراک، اید<sup>۲</sup> (۱۹۹۷) ارائه کرده‌اند، از انطباق بین حد روانی، درصد ریزدانه، تنش مؤثر و زاویه اصطکاک، زاویه اصطکاک برای هر لایه به دست می‌آید [۵].

<sup>۱</sup>. Remold

<sup>۲</sup>. Stark, Eid



نمودار ۲. انطباق بین حد روانی، درصد ریزدانه، تنش مؤثر و زاویه اصطکاک داخلی ( Stark, Eid, 1997 )

از مقایسه مقادیر جدول ۱، مقدار مقاومت چسبندگی  $C$  تخمين زده می شود. مقادیر ارائه شده در این جدول، برای خاک های چسبنده تا ۱۰۰٪ متراکم شده است. باید توجه داشت که اگر مقدار تراکم از ۱۰۰٪ کمتر باشد، مقدار  $\varphi$  در همان حد می ماند ولی مقدار  $C$  کاهش می یابد. بهطور مثال برای  $RC=90\%$  مقدار  $C$  در حد نصف مقدار ارائه شده در جدول است. بهطور تقریبی برای توف هوازده در سطح لغزش مقدار  $C = 5\text{KN/m}^2$  در نظر گرفته شده است.

جدول ۱. تخمين مقدار چسبندگی خاک بر اساس نوع مصالح و زاویه اصطکاک داخلی ( Duncan, 2004 )

unified classification	relative compaction(%)	$C'(\text{kPa})$	$\varphi(\text{deg})$
SM-SC	100	15	33
SC	100	12	31
ML	100	9	32
CL-ML	100	23	32
CL-ML	100	14	28
MH	100	21	25
CH	100	12	19

برای بازسازی لغزش اولیه و بررسی عوامل مختلف، لازم است تاریخچه زمانی شتاب های رخداده در منطقه فرخزاد استخراج گردد. به این منظور لیست زلزله های تاریخی تهران و پیرامون آن تهیه شده و سپس شتاب ایجاد شده در منطقه فرخزاد، براساس رابطه کاہنگی زارع ( ۱۹۹۵ ) برای البرز محاسبه شده است:

رابطه زارع ( ۱۹۹۵ ) برای البرز:

$$PHA = 1.84 * e^{(0.52M - 0.02D + 1.112T_G)} \quad (1)$$

در این رابطه  $M$  بزرگای زلزله،  $D$  فاصله از پهنه آزادی انرژی به کیلومتر و  $T_G$  پریود غالب است. پس از استخراج بیشینه شتاب های رخداده در منطقه، بر اساس رابطه  $Kh=1/2PHA$  ضریب لرزه ای مورد نیاز در تحلیل ها بدست آمده است.

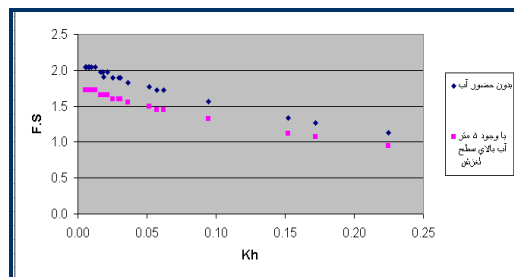
جدول ۲. خلاصه محاسبات شتاب بیشینه و ضریب لرزه‌ای

ردیف	MW	distane to farahzad(Km)	T <sub>G</sub>	PHA(cm/s <sup>2</sup> )	PHA(g)	DATE	K <sub>h</sub>
1	7.1	95	0.41	112.101	0.114	743	0.06
2	7.0	24	0.17	337.149	0.344	855	0.17
3	7.9	270	1.8	24.073	0.025	856	0.01
4	5.4	36	0.13	110.393	0.113	864	0.06
5	7.7	31	0.21	440.982	0.450	958	0.22
6	6.4	132	0.38	35.947	0.037	1119	0.02
7	7.1	59	0.25	192.767	0.197	1177	0.10
8	6.6	85	0.3	93.418	0.095	1301	0.05
9	7.1	125	0.51	68.759	0.070	1485	0.04
10	7.6	105	0.6	147.037	0.150	1608	0.07
11	6.4	71	0.24	104.205	0.106	1665	0.05
12	6.4	127	0.38	39.727	0.040	1687	0.02
13	6.4	120	0.35	44.198	0.045	1809	0.02
14	6.6	116	0.37	54.322	0.055	1825	0.03
15	7.0	32	0.17	287.299	0.293	1830	0.15
16	6.3	143	0.39	27.693	0.028	1868	0.01
17	5.4	58	0.13	71.097	0.072	1930	0.04
18	5.0	58	0.13	57.745	0.059	1930	0.03
19	5.2	131	0.13	14.880	0.015	1935	0.01
20	5.0	140	0.13	11.201	0.011	1935	0.01
21	5.5	130	0.21	19.395	0.020	1937	0.01
22	5.5	98	0.18	35.575	0.036	1940	0.02

در این تحلیل‌ها ابتدا تأثیر زلزله با سطح آب زیرزمینی پایین‌تر از سطح لغزش یا به عبارتی سطح لغزش خشک بررسی شده است. سپس با توجه به رخداد زلزله در فصل‌های مختلف و در نتیجه سطوح آب زیرزمینی متفاوت، حالت سطح آب زیرزمینی بحرانی (۵ متر بالاتر از سطح لغزش) نیز به زلزله اضافه شده است. نتایج این تحلیل‌ها در جدول زیر آمده است:

جدول ۳ . نتایج تحلیل‌های شبیه استاتیکی برای بازسازی لغزش اولیه

ردیف	PHA (متوسط)	K <sub>h</sub>	F.S (بدون حضور آب)	با دمتراب زیرزمینی
1	0.103	0.05	1.77	1.50
2	0.344	0.17	1.27	1.07
3	0.013	0.01	2.04	1.72
4	0.114	0.06	1.72	1.45
5	0.450	0.22	1.13	0.95
6	0.033	0.02	1.97	1.66
7	0.189	0.09	1.56	1.32
8	0.016	0.01	2.04	1.72
9	0.061	0.03	1.90	1.60
10	0.124	0.06	1.72	1.45
11	0.103	0.05	1.77	1.49
12	0.038	0.02	1.91	1.66
13	0.043	0.02	1.97	1.66
14	0.051	0.03	1.90	1.60
15	0.305	0.15	1.33	1.12
16	0.025	0.01	2.04	1.72
17	0.072	0.04	1.83	1.55
18	0.059	0.03	1.90	1.60
19	0.015	0.01	2.04	1.72
20	0.011	0.01	2.04	1.72
21	0.020	0.01	2.04	1.72
22	0.036	0.02	1.97	1.66



نمودار ۳. نمودار تغییرات F.S با ضریب لرزه‌ای

همان‌طور که از نمودار ۳ و جدول ۳ بر می‌آید تنها در یک مورد که  $K_h = 0/22$  است توده ناپایدار بوده و لغزش می‌تواند به موقع بیروندد، در بقیه موارد زلزله به تهایی نمی‌تواند باعث ایجاد لغزش گردد.

### نتیجه بازسازی لغزش اولیه

با استناد به تحلیل‌های فوق ، بررسی زلزله‌های تاریخی تهران و شرح خرابی زلزله‌ها می‌توان نتیجه گرفت این لغزش در یکی از این حالات بوجود آمده است:

- زلزله‌ری- طالقان در ۲۳ فوریه ۹۵۸ میلادی (۳۴۶ هجری قمری): این زمین لرزه، زمین لرزه‌ای ویران‌گر بوده است که از سرچشمه‌های جاجrud تا طالقان رود در شمال غربی کرج همراه با قسمت بزرگی از شهر ری ، ۱۵۰ شهر و روستای شمیران، لشگرک، واریان و طالقان را ویران کرده است. در اثر این زلزله سنگ ریزش و کوه لغزش در کوه‌های شمال تهران رودخانه‌ها را مسدود کرده و در گستره شمال تهران زمین شکاف برداشته است .

- زلزله دماوند- شمیرانات در ۲۷ مارس ۱۸۳۰: در این زمین لرزه سنگ لغزش سبب بسته شدن راه هراز و تالارود شده است. با توجه به زمان و قوع این زلزله در ماه فروردین و بالطبع بالا بودن سطح آب زیرزمینی، این دو عامل توأم با هم باعث ایجاد این لغزش گردیده‌اند [۱].



عکس ۱. زمین لغزش شمال کوی کارکنان مجلس

## بحث و نتیجه‌گیری

- تحلیل برگشتی، حالتی از تحلیل پایداری است که در آن با مشخص کردن سطح لغزش، سطح آب زیرزمینی و هندسه شبی، تحلیل انجام شده و پارامترهای مقاومت چسبندگی (C) و مقاومت اصطکاکی (φ) سطح گسیختگی به دست می‌آید. ساده‌ترین حالت تحلیل برگشتی مربوط به زمانی است که لغزش اتفاق افتاده باشد. در این حالت مقاومت چسبندگی سطح لغزش صفر شده و سطح لغزش تنها دارای مقاومت اصطکاکی است. با انجام تحلیل برگشتی به شرط ضریب اطمینان مساوی یک، مقاومت اصطکاکی (φ) به دست می‌آید.
- در زمین لغزش فرخزاد که گسیختگی در توف هوازده اتفاق افتاده است بهدلیل وجود درزهای بسیار ریز در توف، تهیه نمونه (بیان‌گر مشخصات توف در محل) برای آزمایش برش و تعیین پارامترهای مقاومتی آن امکان‌پذیر نیست و در صورت بازسازی<sup>۱</sup> نمونه، مقاومت‌های بسیار بالا نشان داده که معنبر نیست. لذا تحلیل برگشتی ابزاری مفید برای تعیین مقاومت توف هوازده موجود در سطح گسیختگی است.
- زمین لغزش فرخزاد یک لغزش قدمی است که در عکس هوایی سال ۱۳۳۵ این منطقه نیز دیده می‌شود. عامل به وجود آورنده این لغزش زلزله‌ای مخرب بوده است که در اثر وقوع آن در گزارش ۵۶ سازمان زمین‌شناسی کشور نیز زمین لغزش گزارش شده است.
- عامل فعالیت مجدد این لغزش طی سال‌های اخیر، سربارشدن خاک دستی، ایجاد ساختمان‌های زاغه‌نشین روى توده لغزشی و زیرشوبی دره فرخزاد در محدوده لغزشی و... است. تخلیه فاضلاب ساختمان‌های واقع بر توده لغزشی و نفوذ آب‌های سطحی ناشی از بارندگی که زمکش سطحی برای هدایت آن‌ها وجود ندارد نیز موجب تشدید این موضوع گردیده است.
- اولین گام برای پیش‌گیری از حرکت توده و آسیب‌های بیشتر، تخلیه و تخریب ساختمان‌های زاغه‌نشین و انتقال آوار حاصل از آن‌هاست. برای جلوگیری از ورود آب از بالادست توده لغزشی به سطح لغزش، اجرای زمکشی در بالادست توده نیز الزامی است.
- اجرای شمع برای پایدارسازی این لغزش، از نظر اقتصادی مقرر به صرفه نیست و از طرفی بهدلیل فعل بودن این توده و امکان ایجاد سطح لغزش جدید در تراز بالاتر، امکان گسیختگی و واژگونی شمع‌ها وجود دارد. بنا بر این ساخت تونل انتقال آب و خاکریزی دره در طول محدوده لغزشی با هدف پایدار کردن دو دیواره شرقی و غربی دره فرخزاد، طرحی اقتصادی با ضریب اطمینان زیاد است.

## منابع

۱. م. بربریان، و دیگران، پژوهش و بررسی ژرف نو زمین ساخت، لرزه زمین ساخت و خطر زمین لرزه. گشایش در گستره تهران و پیرامون، گزارش ۵۶ سازمان زمین شناسی کشور (۱۳۶۴).
۲. م. زارع، مقدمه ای بر زلزله شناسی کاربردی، پژوهشگاه بین المللی زلزله شناسی و مهندسی زلزله (۱۳۸۴).
۳. ع. کمکپناه، س. منتظر القائم، روش های تحلیلی بر ارزیابی پایداری شیب های طبیعی، موسسه بین المللی زلزله شناسی و مهندسی زلزله (۱۳۷۳).
4. L. W. Abramson, et al, "Slope Stability and Stabilization methods", John Wiley & Sons, Inc (1995).
5. J. M. Duncan, S. G. Wright, "Soil strength and Slope Stability", John Wiley & Sons, INC (2004).
6. K. Ishihara, "Soil behaviour in earthquake engineering", Clarendon press oxford (1996).
7. JICA, "The Study on Seismic Microzoning Of The Greater Tehran Area In The Islamic Republic of Iran", November 2000, japan international cooperation agency(JICA) (2000).
8. S. L. Krammer, "Geotechnical Earthquake Engineering, Prentice Hall", Upper Saddle River, Nj (1996).
9. A. W. Skempton, "Residual strength of clays in landslides", folded strata and the laboratory, Geotechnique 35, No.1(1985) 3-18.
10. A. K.Turner, R. L. Schuster, "Landslide Investigation and Mitigation", National Academy of Sciences, USA, Special Report (1996).